

گوگرددزدایی از تیوفن توسط باکتری *Pseudomonas stutzeri SEE-1*

محمد صادق شیرسلیمان، زهرا اعتمادی فر* و گیتی امتیازی

اصفهان، دانشگاه اصفهان، دانشکده علوم، گروه زیست‌شناسی

تاریخ پذیرش: ۹۱/۴/۱۱

تاریخ دریافت: ۹۰/۷/۳

چکیده

حذف گوگرد از ترکیبات تیوفنی یکی از مسائل مهم در پالایشگاه‌ها و کنترل آلودگی‌های زیست محیطی محسوب می‌شود. یک سویه باکتریایی غنی شده در خاک حاوی MTBE قادر به گوگرددزدایی از ترکیب تیوفن می‌باشد که با آنالیز فیلورنیکی انجام شده بر اساس توالی ژن 16S rRNA، این سویه به عنوان *Pseudomonas stutzeri* شناسایی شد. آزمایش‌های گوگرددزدایی با سلولهای فعال بدون رشد این باکتری در حضور ترکیب گوگرددار مدل تیوفن و در فاز آبی انجام شد که نتایج به دست آمده با روش اسپکتروفوتومتری UV در طول موج ۲۳۰ نانومتر نشان داد که بیش از ۹۵ درصد از تیوفن با غلظت اولیه ۱۲/۴ میلی مولار پس از ۱۵ ساعت حذف شده است. آنالیز انجام شده با روش کروماتوگرافی گازی (GC) نیز همین میزان کاهش تیوفن را نشان داد. همچنین به منظور بررسی فعالیت گوگرددزدایی سلولهای فعال بدون رشد این باکتری در محیط دوفازی حاوی نفت خام، میزان کاهش گوگرد از طریق اندازه گیری میزان سولفات آزاد شده با روش کدورت سنجدی مورد بررسی قرار گرفت.

واژه‌های کلیدی: گوگرددزدایی زیستی، تیوفن، سلول فعال بدون رشد، نفت خام، سودوموناس استونزی

*نویسنده مسئول، تلفن: ۰۳۱-۳۷۹۳۲۳۶۷، پست الکترونیکی: z_etemadifar@yahoo.com

مقدمه

در حال حاضر همه پالایشگاهها برای حذف گوگرد از سوختهای فسیلی متکی بر تکنیک پر هزینه گوگرددزدایی هیدروژنی (Hydrodesulfurization) می‌باشند، یک فرآیند کاتالیتیکی در فشار بالا (۱۵۰-۲۵۰ پوند بر اینچ مربع) و حرارت بالا (۲۰۰-۴۲۵ درجه سانتی گراد) که در آن از گاز هیدروژن برای احیای گوگرد به سولفید هیدروژن استفاده می‌شود. حجم وسیعی از ترکیبات غیر آلی گوگردی و همچنین ترکیبات آلی گوگردی ساده از طریق این فرآیند حذف می‌شوند، اما بیش از ۷۰ درصد از گوگرد موجود در نفت خام ترکیبات آروماتیکی گوگردی بر پایه حلقه تیوفن می‌باشند که نسبت به عمل گوگرددزدایی این روش مقاوم هستند (۱۱). از این رو، توسعه روش‌های جدید مثل گوگرددزدایی زیستی یا بیوکاتالیتیک به یکی از جاذبه‌های مهم بیوتکنولوژی در صنعت نفت تبدیل شده است.

میزان گوگرد در نفتهاي خام از ۳۰۰۰ - ۱۰۰۰ ppm است و مهم‌ترین ترکیب آلوده کننده نفتی محسوب می‌شود (۹). احتراق مواد سوختنی حاصل از نفت خام مثل گازوئیل و بنزین موجب تولید و انتشار اکسیدهای متفاوت گوگرد (SO_X) و بیش از همه به صورت SO₂ می‌شود که با ایجاد بارانهای اسیدی موجب حل شدن مواد ساختمانی، از بین رفتن جنگلها و سمی شدن دریاچه‌ها می‌گردد. همچنین افزایش غلظت گوگرد موجود در اتمسفر با تشکیل آثروسهای سولفات سبب بروز تاراحتیهای تنفسی و قلبی-عروقی در انسان می‌شود. از طرف دیگر، هر ساله قوانین و استانداردهای موجود برای کنترل میزان گوگرد مجاز سوختهای فسیلی سخت تر می‌شود. به عنوان مثال، سازمان حفاظت محیط زیست آمریکا (EPA) مرز میزان گوگرد مجاز در سوختهای دیزلی و گازوئیل را تا سال ۲۰۱۰ ppm تعیین کرد (۱ و ۱۱).

خاص چروکیده به همراه لبه‌های برآمده بود که پس از برداشتن، محل اثر برداشتن کلینی باقی می‌ماند. پس از پاسارهای مکرر در محیط‌های کشت آزمایشگاهی کلینیها به حالت صاف و گرد تبدیل شدند (شکل ۱).

تعیین تراویف ژن 16S rRNA : به منظور شناسایی مولکولی باکتری مورد نظر، DNA ژنومی آن طبق دستورالعمل کیت مورد استفاده استخراج شد، سپس واکنش PCR با دو پرایمر رفت RW⁰¹ و برگشت DG⁷⁴ انجام شد که توالی پرایمربا به صورت زیر است: پرایمر رفت (5'AACTGGAGGAAGGTGGGGAT3') RW⁰¹ و پرایمر DG⁷⁴ برگشت (5'AGGAGGTGATCCAACCGCA3'). محصول به دست آمده توسط این دو پرایمر حاوی ۳۷۰ bp بود. برنامه PCR به صورت یک سیکل دناتوراسیون اولیه با دمای ۹۵ درجه سانتی گراد به مدت ۵ دقیقه، ۳۰ سیکل با دمای ۹۴ درجه سانتی گراد به مدت ۴۵ ثانیه، ۵۴ درجه سانتی گراد به مدت ۴۵ ثانیه و یک سیکل نهایی ۷۲ درجه سانتی گراد به مدت ۵ دقیقه تنظیم شد.

محصول PCR پس از مشاهده بر روی ژل ۱ درصد آگارز، جهت تعیین توالی به شرکت ماکروژن در کره جنوبی فرستاده شد. توالی به دست آمده با دیگر توالیهای شناخته شده موجود در بانک ژنی مرکز NCBI با استفاده از برنامه BLASTn مقایسه گردید (۵).

تهیه سلولهای فعال بدون رشد: کشت اولیه باکتری SEE-1 در اrlen حاوی ۵۰ میلی لیتر از محیط کشت لوریا برتانی (LB) در دمای ۳۰ درجه سانتی گراد انجام شد. پس از آنکه باکتری به انتهای فاز لگاریتمی رشد خود نزدیک گردید، سلولهای باکتری توسط سانتریفیوژ (دور ۱۸۰۰ به مدت ۱۰ دقیقه) ته نشین شدند. رشد سلولی توسط دستگاه اسپکتروفوتومتر (مدل ۵ SECOMAM XS ساخت فرانسه) در طول موج ۶۰۰ نانومتر اندازه گیری شد. سپس

روش گوگرددزدایی زیستی به دلیل شرایط عملیاتی متعادل، هزینه‌های پایین و ویژگی مسیرهای متابولیکی به عنوان یک روش مکمل برای فرآیند گوگرددزدایی هیدروژنی در نظر گرفته می‌شود. از این رو تغییر زیستی ترکیبات تیوفنی توسط انواعی از سویه‌های باکتریایی از قبیل رودورکوکوس، گوردونیا، میکوباکتریوم، پانسیپاسیلوس، سودوموناس و غیره مورد مطالعه قرار گرفته است (۸ و ۹).

سودوموناس استوتزری یک باکتری با قابلیت‌های ژنتیکی و فیزیولوژیکی بالا، در تجزیه بسیاری از هیدروکربنهای آلیاتیک و آروماتیک نقش دارد (۷). در این تحقیق به بررسی فعالیت گوگرددزدایی یک سویه باکتریایی بر روی تیوفن پرداخته شده است که به مقدار فراوانی در گازوئیل وجود دارد. در فرآیند گوگرددزدایی هیدروژنی، مولکول تیوفن از طریق سیس- یا ترانس- ۱- بوتن به بوتان و گاز سولفید هیدروژن تبدیل می‌شود (۳). تا به امروز، یک مکانیسمی که گوگرد را از تیوفن غیر استخلاف شده به طور انتخابی جدا کند مانند مسیر ۴S برای دی بنزوتیوفن شناسایی نشده است (۱۰).

مواد و روشها

مواد شیمیایی: تیوفن از شرکت مرک آلمان با درجه خلوص بالا خریداری شد. کیت استخراج DNA (DNA Kit) و کیت واکنش PCR از شرکت داخلی سیناژن تهیه شد. پرایمربا مورد استفاده برای تعیین توالی از شرکت تگ کپنهاگ دانمارک خریداری شد.

مشخصات باکتری: باکتری SEE-1 که از خاک آلووده به MTBE جداسازی شده بود مورد استفاده قرار گرفت. این باکتری گرم منفی با تست کاتالاز و اکسیداز مثبت، قادر استبر و باسیل می‌باشد که کلینیهای این باکتری بر روی محیط کشت جامد آگار مغذی (نوترینت آگار) به رنگ زرد رنگ پریده، گرد و صاف دیده می‌شوند. کلینیهای تازه جداسازی شده این باکتری خشن و خشک با یک ظاهر

شیب دمایی ۱۰ درجه سانتی گراد در هر دقیقه و در نهایت افزایش دما تا ۱۰۰ درجه سانتی گراد و توقف در این دما به مدت ۲ دقیقه می‌باشد. دمای محل تزریق و آشکارساز، ۲۰۰ و ۲۵۰ درجه سانتی گراد بود. از گاز هلیوم با سرعت جریان ۲ میلی لیتر در دقیقه به عنوان گاز حامل استفاده شد. درصد تیوفن با استفاده از مساحت پیک حاصل از آشکارساز یونیزاسیون شعله ای (FID) محاسبه گردید.^(۱۲)

تأثیر عصاره آنزیمی فاقد سلول در حذف تیوفن: به منظور تهیه عصاره آنزیمی فاقد سلول، سلولهای رشد یافته در ۲۵۰ میلی لیتر محیط لوریا برتانی از انتهای فاز لگاریتمی توسط سانتریفیوژ (دور $g = 1800$ به مدت ۱۰ دقیقه) جمع آوری شدند، سلولها توسط بافر فسفات استریل ($pH = 7/1$) دو بار شستشو داده شدند و مجدداً در ۵ میلی لیتر بافر فسفات حاوی $12/4$ میلی مولار تیوفن به منظور القای آنزیمهای درگیر در تجزیه آن سوسپانسیون گردیدند. پس از ۲ ساعت، سلولها با بافر فسفات شستشو داده شدند و مجدداً در همین بافر تا رسیدن $OD_{600..} = 20$ به حالت سوسپانسیون تبدیل شدند. در مرحله بعد، سلولهای باکتری با استفاده از دستگاه اولتراسونیک dr.hielscher GmbH) مدل VP 200H ساخت آلمان) ۱۰ بار بر روی یخ (هر بار ۱ دقیقه سونیکیت و ۳۰ ثانیه استراحت) شکسته شدند و عصاره آنزیمی پس از جداسازی اجسام خرد شده سلولی با سانتریفیوژ (دور $g = 10000$ در ۴ درجه سانتی گراد به مدت ۱۰ دقیقه) به دست آمد^(۴). مقدار پروتئین عصاره آنزیمی حاصل با استفاده از معرف برادرفورد و منحنی استاندارد پروتئین، $30/3$ میکروگرم در میلی لیتر محاسبه گردید^(۲). ۱ میلی لیتر از عصاره آنزیمی به ۵ میلی لیتر محلول ۰/۹ درصد کلرور سدیم حاوی $12/4$ میلی مولار تیوفن به دست آمد^(۶).

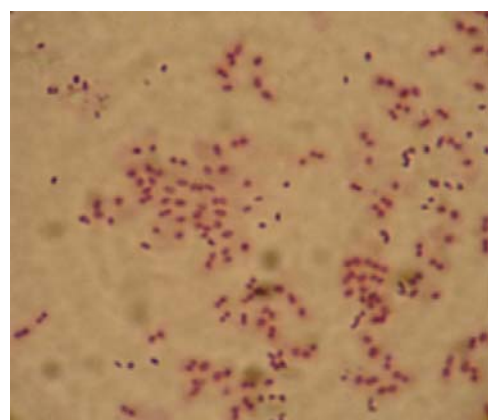
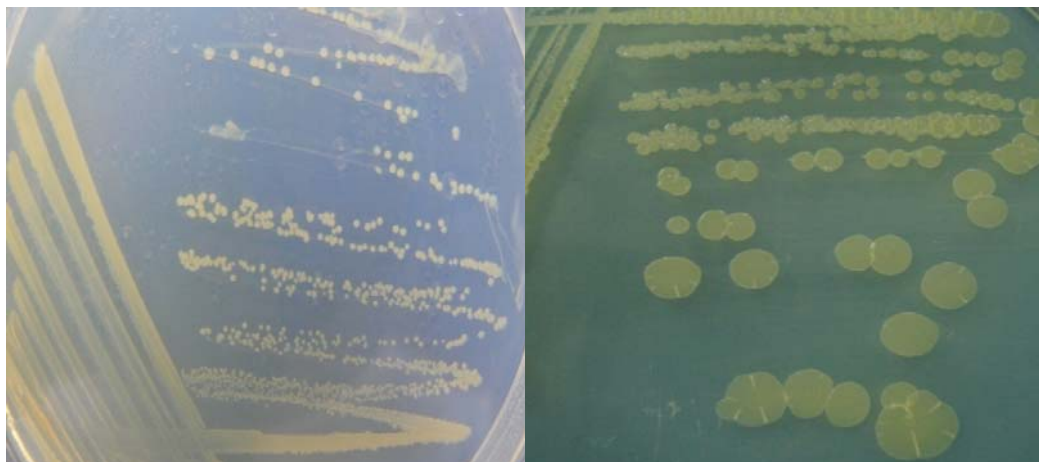
سلولها توسط محلول ۰/۹ درصد کلرور سدیم دو بار شستشو داده شدند و مجدداً همین محلول اضافه شد تا سوسپانسیون سلولی تشکیل گردد که چگالی سلولی آن در طول موج 600 نانومتر به 30 برسد ($OD_{600..} = 30$).^(۶)

سنجدش تیوفن در فاز آبی با روش اسپکتروفوتومتر UV : مقدار ۰/۲ میلی لیتر از سوسپانسیون سلولی تهیه شده به ۵ میلی لیتر محلول ۰/۹ درصد کلرور سدیم حاوی $12/4$ میلی مولار تیوفن در لوله درب دار اضافه گردید و بر روی شیکر (۱۲۰ دور در دقیقه) با دمای ۳۰ درجه سانتی گراد به مدت ۱۵ ساعت انتقال داده شد. به منظور اندازه گیری میزان گوگردزادایی، رقت های متفاوت تیوفن در محلول $0/9$ درصد کلرور سدیم از غلظت $12/4$ میلی مولار تیوفن $230 - 160A$ نانومتر توسط دستگاه اسپکتروفوتومتر UV (مدل UV شرکت Shimadzu ژاپن) اندازه گیری شد. معادله منحنی استاندارد تیوفن به صورت $y = 3/437x - 0/021$ و $R^2 = 0/998$ با استفاده از نرم افزار Excel به دست آمد (y = جذب، x = مقدار تیوفن بر حسب میلی مولار).

سنجدش تیوفن در فاز گازی با روش کروماتوگرافی گازی (GC) : مقدار ۰/۵ میلی لیتر از سوسپانسیون سلولی تهیه شده به ۵ میلی لیتر محلول $0/9$ کلرور سدیم حاوی 62 میلی مولار تیوفن در شیشه درب دار با درب پلاستیکی اضافه گردید. پس از ۲۰ ساعت گرمگذاری در دمای ۳۰ درجه سانتی گراد بر روی شیکر (۱۲۰ دور در دقیقه)، با سوراخ کردن درب پلاستیکی شیشه‌ها توسط سرنگ ۱ میلی لیتری، میزان 200 میکرولیتر از هوای بالای سطح مایع جهت شناسایی تیوفن به دستگاه کروماتوگرافی گازی (مدل Agilent 6890N ساخت آمریکا) تزریق شد. ستون مورد استفاده HP-5 با طول 30 متر، قطر داخلی $0/32$ میلی متر و ضخامت لایه $0/25$ میکرومتر بود. برنامه دمایی نیز بدین ترتیب بود: دمای آون 35 درجه سانتی گراد و توقف در این دما ۷ دقیقه، افزایش دما تا 75 درجه سانتی گراد با عنوان کنترل مقایسه گردید.

بر روی شیکر (۱۶۰ دور در دقیقه)، سلولها با سانتریفیوژ (g = ۶۰۰۰ به مدت ۱۰ دقیقه) جمع آوری و میزان سولفات مایع رویی بر حسب میلی گرم در لیتر با روش کدورت سنگی در طول موج ۴۲۰ نانومتر مورد بررسی قرار گرفت (۱۳). معادله منحنی استاندارد سولفات سدیم به منظور اندازه گیری میزان سولفات به صورت $y = 0.989 + 0.475x + 0.165$ دست آمد (y: جذب، x: غلظت سولفات بر حسب میلی گرم در لیتر).

انجام عمل گوگردزدایی زیستی سلولهای فعال بدون رشد در یک محیط نفتی: جمع آوری سلولها از انتهای فاز لگاریتمی و آماده سازی سوسپانسیون سلولی با OD₆₀₀ برابر ۲۰ مطابق قسمت قبل انجام شد. میزان ۳ میلی لیتر از این سوسپانسیون سلولی به یک ارلن شامل ۱۰۰ میلی لیتر محلول بافر فسفات (pH = ۷/۱) و ۲۵ میلی لیتر نفت خام به دست آمده از پالایشگاه اصفهان اضافه گردید. یک ارلن حاوی همین مقادیر از بافر فسفات و نفت خام بدون اضافه کردن باکتری به عنوان کنترل در نظر گرفته شد. بعد از ۲۴ ساعت گرمگذاری در دمای ۳۰ درجه سانتی گراد

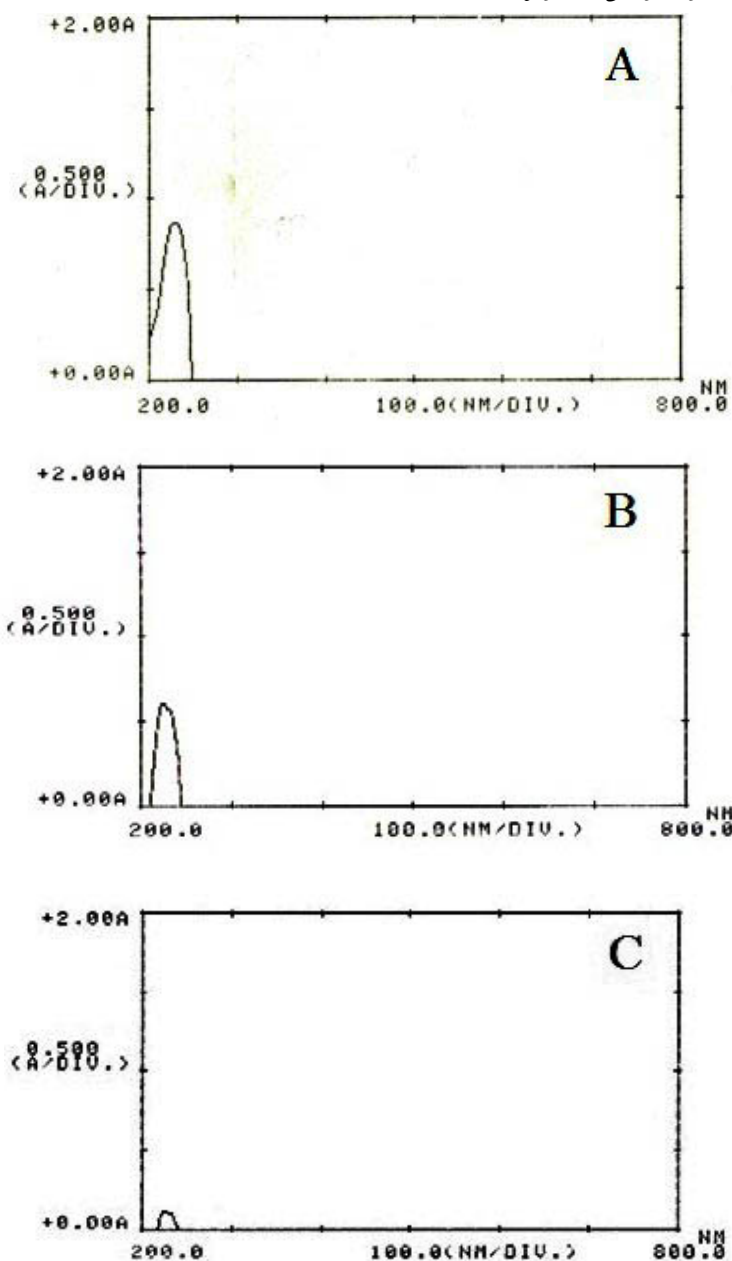


شکل ۱- تصویر کلی باکتری SEE-1 بر روی محیط آگار مغذی (تصویر چپ مربوط به کلینیهای خشن با ظاهر چروکیده خاص، تصویر راست مربوط به کلینیهای صاف و گرد پس از پاسازهای مکرر) و سلولهای آن در زیر میکروسکوپ

نتایج و بحث

دسترسی: Af^{0.63219,1}) نشان می‌دهد. این باکتری پس از شناسایی، در بانک ژنی NCBI با شماره دسترسی HQ⁴³⁸²⁸² به ثبت رسید. تصویر کلینیکی مربوط به این سویه در شکل (۱) نشان داده شده است.

شناسایی سویه مورد استفاده: نتایج به دست آمده نشان داد باکتری مورد استفاده در این تحقیق بیشترین شباهت را با گونه سودوموناس استوتزری (شماره >۹۹%) دارد.



شکل ۲- جذب UV تیوفن در طول موج ۲۳۰ نانومتر توسط سلول‌های فعال بدون رشد باکتری پس از ۱۵ ساعت گرم‌گذاری در دمای ۳۰ درجه سانتی گراد: (A) نمونه کنترل بدون باکتری با رقت ۱/۵، (B) نمونه حاوی باکتری با رقت ۱/۲، (C) نمونه حاوی باکتری با رقت ۱/۱۰. (محور افقی: طول موج بر حسب نانومتر، محور عمودی: میزان جذب UV)

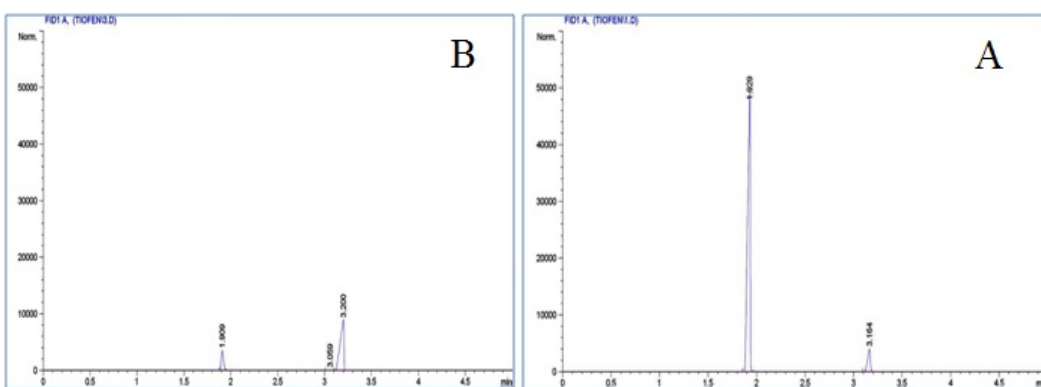
جدول ۱- درصد کاهش تیوفن با غلظت اولیه ۱۲/۴ میلی مولار توسط سلول‌های فعال بدون رشد (آزمایش برای هر نمونه با سه تکرار صورت گرفت که میانگین جذب آنها آورده شده است)

شماره	رقت	جذب در ۲۳۰ نانومتر	مقدار تیوفن باقیمانده (میلی مولار)	درصد کاهش تیوفن (%)
شکل ۲ قسمت B	۱/۲	۰/۵۴۷	۰/۳۳	% ۹۷/۴
شکل ۲ قسمت C	۱/۱۰	۰/۱۱۶	۰/۳۹	% ۹۶/۸
نمونه کنترل (قسمت A)	۱/۵۰	۰/۸۰۷	۱۲/۰۴	% ۲/۹۱

کنترل دو پیک اصلی را نشان می‌دهد، پیک در زمان بازداری ۱/۹ دقیقه که با توجه به کاهش این پیک در نمونه حاوی باکتری به عنوان پیک معرف تیوفن در نظر گرفته می‌شود. همچنین در نمونه کنترل پیک دومی در زمان بازداری ۳/۲ دقیقه مشاهده گردید که مربوط به وجود ناخالصی به همراه تیوفن می‌باشد. با توجه به اطلاعات مربوط به سطح زیر منحنی و ارتفاع پیک تیوفن در زمان بازداری ۱/۹ دقیقه، درصد کاهش تیوفن توسط این باکتری ۹۳/۸۲ درصد به دست آمد.

ارزیابی فعالیت باکتری بر روی تیوفن: از نمونه‌های حاوی سلول‌های فعال بدون رشد این باکتری پس از رسوب دادن توده سلولی، رقت‌های ۱/۲ و ۱/۱۰ از مایع رویی حاوی تیوفن آماده شد و از میزان جذب UV به دست آمده در طول موج ۲۳۰ نانومتر (شکل ۲) و استفاده از معادله خط منحنی استاندارد تیوفن، مقدار تیوفن به صورت جدول (۱) محاسبه گردید. کاهش جزئی درصد تیوفن در نمونه کنترل به دلیل ماهیت فرار بودن آن می‌باشد.

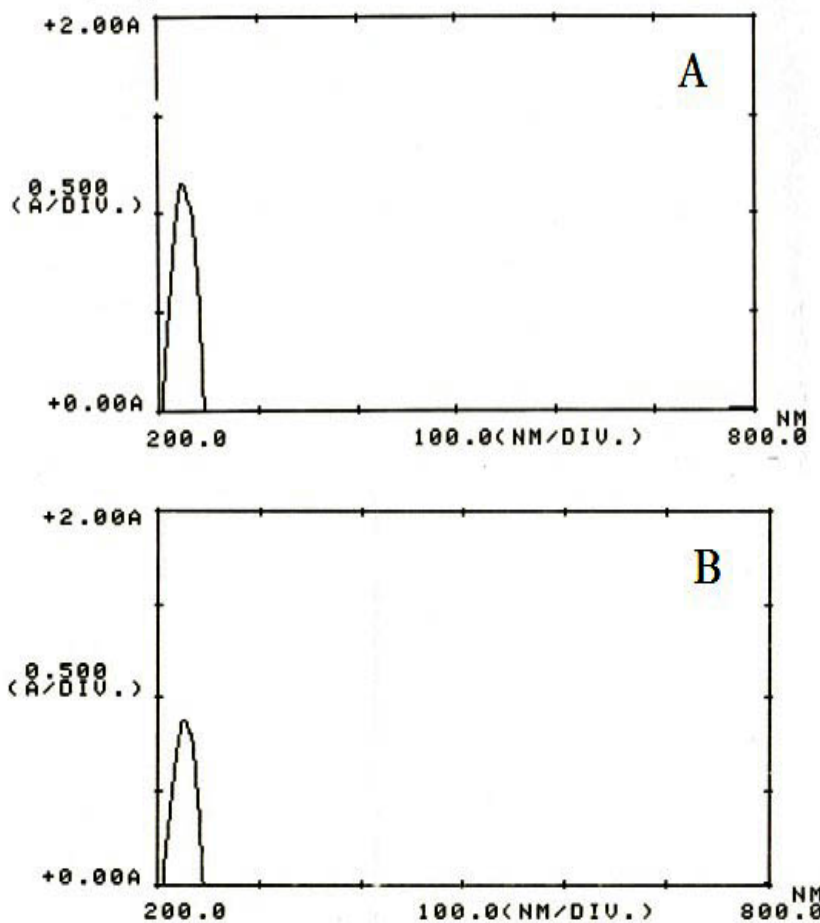
همچنین نمودارهای گاز کروماتوگرام حاصل از عملکرد گوگردزدایی باکتری مورد استفاده بر روی تیوفن و همچنین نمونه کنترل حاوی تیوفن بدون باکتری در شکل (۳) نشان داده شده است. کروماتوگرام مربوط به نمونه



شکل ۲- نمودارهای GC نمونه کنترل و نمونه حاوی باکتری مورد مطالعه پس از ۲۰ ساعت گرمگذاری در دمای ۳۰ درجه سانتی گراد: (A) نمونه کنترل حاوی تیوفن بدون باکتری، (B) نمونه حاوی باکتری. (محور افقی: زمان بازداری بر حسب دقیقه، محور عمودی: پیکوآمپر بر ثانیه)

آنزیمی استخراج شده از باکتری نسبت به نمونه کنترل نشان دهنده تجزیه آنزیمی تیوفن می‌باشد. با توجه به اطلاعات مربوط به جذب UV در طول موج 230 nm درصد کاهش تیوفن توسط عصاره آنزیمی این باکتری درصد کاهش تیوفن توسط عصاره آنزیمی این باکتری $28/49$ درصد به دست آمد.

استفاده از کاتالیزور آنزیمی برای حذف تیوفن: با تهیه رقت $1/50$ ، جذب UV تیوفن نمونه حاوی ۱ میلی لیتر از عصاره آنزیمی باکتری و نمونه حاوی تیوفن بدون عصاره آنزیمی به عنوان کنترل به دست آمد (شکل ۴). کاهش جذب UV در طول موج 230 nm توسط عصاره



شکل ۴- تأثیر عصاره آنزیمی فاقد سلول در کاهش جذب UV تیوفن: (A) نمونه کنترل حاوی $1/4$ میلی مولار تیوفن بدون عصاره آنزیمی با رقت $1/50$ ، (B) نمونه حاوی عصاره آنزیمی باکتری و $1/4$ میلی مولار تیوفن با رقت $1/50$. (محور افقی: طول موج بر حسب نانومتر، محور عمودی: میزان جذب UV)

(۲)، میزان سولفات اندازه گیری شده در نمونه حاوی باکتری نسبت به نمونه کنترل بدون باکتری بیشتر است که نشان دهنده توانایی باکتری در آزاد کردن اتم گوگرد به شکل سولفات از ترکیبات گوگردی آلی موجود در نفت خام می‌باشد.

فعالیت گوگردزدایی باکتری در محیط نفتی: پس از جدا کردن فاز آبی و نفت، از مایع رویی جهت تخمین فعالیت گوگردزدایی از طریق اندازه گیری میزان سولفات با روش کدورت سنجی استفاده شد و با معادله به دست آمده از منحنی استاندارد سولفات سدیم، مقدار سولفات بر حسب میلی گرم در لیتر به دست آورده شد. با توجه به جدول

جدول ۲- نتایج حاصل از فعالیت گوگرددزدایی باکتری در محیط حاوی نفت خام و میزان سولفات اندازه گیری شده بر حسب mg/l

نمونه	میزان جذب در ۴۲۰ نانومتر	غاظت سولفات (mg/l)
ارلن کنترل بدون باکتری	۱/۰۶۱	۳۵۵/۱۵
ارلن حاوی باکتری	۱/۲۲۳	۴۵۳/۳۳

گوگرددزدایی از ترکیب تیوفن دارد. بدینه است به منظور شناسایی متabolیت‌های حداوسط و مسیر متabolیکی تجزیه تیوفن نیاز به مطالعات بیشتر با استفاده از روش کروماتوگرافی گازی - اسپکتروفوتومتری جرمی (GC-MS) می‌باشد.

سپاسگزاری: نگارندگان بدین وسیله از همکاری گروه زیست‌شناسی به ویژه بخش میکروبیولوژی دانشگاه اصفهان که در اجرای این طرح کمک نمودند قدردانی می‌نمایند.

نتیجه گیری کلی

در اکثر مقالات موجود از دی بنزوتیوفن به عنوان ترکیب مدل برای مطالعات گوگرددزدایی زیستی استفاده می‌شود و اکثر مطالعات بر روی تیوفن به بررسی رشد سویه‌های جداسازی شده بر روی تیوفن به عنوان تنها منبع گوگرد و اندازه‌گیری رشد سویه محدود می‌شود (۸ و ۱۱).

از ارزیابی نتیجه‌های به دست آمده چنین استنباط می‌شود که باکتری سودوموناس استرترزی SEE-1 شناسایی شده در این تحقیق توانایی اختصاصی بسیار مطلوبی در

منابع

- ۱- اعتمادی فر، ز، امتیازی، گ، نحوی، ۱۳۸۷. بررسی رشد، تنفس و تشکیل بیوفیلم در مخمر *Trichosporon sp.* مصرف کننده
- ۲- Bradford, M. M. 1976. A rapid and sensitive method for the quantitation of microgram quantities of protein utilizing the principle of protein-dye binding Analytical biochemistry. 72, 248-254.
- ۳- Brunet, S., Mey, D., Perot, G., Bouchy, C., and Diehl, F. 2005. On the hydrodesulfurization of FCC gasoline: a review. Applied catalysis A: General. 278, 143-172.
- ۴- Emtiazzi, G. Harirchi, S. and Soroush Noghabi, M. 2008. The Effect of grown cell and cell free extract of *Rhodococcus* sp. and *Paenibacillus* sp. on dimethyl disulfide (DMDS) and diethyl disulfide (DEDS) removal. World Applied Sciences Journal. 5, 499-506.
- ۵- Etemadifar, Z. Emtiazzi, G. and Christofi, N. 2008. Enhanced desulfurization activity in protoplast transformed *Rhodococcus erythropolis*. American-Eurasian journal of agricultural & environmental science. 3, 795-801.
- ۶- Etemadifar, Z. Emtiazzi, G. and Peimanfar, S. 2006. Removal of dibenzothiophene, biphenyl and phenol from waste by *Trichosporon* sp. Scientific Research and Essay. 1, 72-76.
- ۷- Lalucat, J., Bennasar, A., Bosch, R., Garcia-Valdes, E. and Palleroni, N. J. 2006. Biology of *Pseudomonas stutzeri*. Microbiology and molecular biology reviews. 70, 510.
- ۸- Mohebali, G. and Ball, A. S. 2008. Biocatalytic desulfurization (BDS) of petrodiesel fuels. Microbiology. 154, 2169.
- ۹- Monticello, D. J. 2000. Biodesulfurization and the upgrading of petroleum distillates. Current opinion in biotechnology. 11, 540-546.
- ۱۰- Prayuenyong, P. 2002. Coal biodesulfurization processes. Songklanakarin Journal of Science and Technology. 24, 493-507.
- ۱۱- Soleimani, M., Bassi, A. and Margaritis, A. 2007. Biodesulfurization of refractory organic sulfur compounds in fossil fuels. Biotechnology advances. 25, 570-596.
- ۱۲- Wu, Z. and Ondruschka, B. 2006. Aquasonolysis of thiophene and its derivatives. Ultrasonics sonochemistry. 13, 86-91.

13- 1985. Standard methods for the examination of water and wastewater. APHA-AWWA-WPCF.

Desulfurization of thiophene by *Pseudomonas stutzeri* SEE-1

Shirsalimian M.S., Etemadifar Z. and Emtiazi G.

Biology Dept., Faculty of Science, University of Isfahan, Isfahan, I.R. of Iran

Abstract

Desulfurization of thiophenic compounds is one of the important issues in refineries and environmental pollutions control. A bacterium was isolated from MTBE enriched soil was able to desulfurize of the thiophene. It was identified as *Pseudomonas stutzeri* based on phylogenetic analysis of 16S rRNA gene sequence. Desulfurization reactions from thiophene as the model of thiophenic compounds in aqueous phase by resting cells of this strain carried out and the concentration of thiophene was determined by UV-visible spectrophotometer in 230 nm wavelength. The results showed that the reduction of thiophene was 95% (from 12.4 mM to 0.3 mM) after 15 hours. Gas chromatography analysis showed the same results of thiophene desulfurization. Furthermore, The desulfurization activity of resting cells in a biphasic system containing crude oil by determination of released sulfate content turbidimetrically with BaCl₂ was investigated.

Key words: Biodesulfurization, Thiophene, Resting cell, Crude oil, *Pseudomonas stutzeri*